

فنر تخت کامپوزیتی پلیمری

Polymeric Composite Leaf Spring

مهرداد کوکبی^{*}، احمد رضا بهرامیان

تهران، دانشگاه تربیت مدرس، دانشکده فنی و مهندسی، گروه مهندسی پلیمر، صندوق پستی ۱۴۱۱۵/۱۱۱
درایافت: ۸۰/۹/۲۸، پذیرش: ۱۵/۸/۸۱

چکیده

فنر تخت، بخش اصلی سیستم تعیق خودروهای سنگین است. وظیفه مهم فنر تخت جذب انرژی به صورت انرژی کرنشی ناشی از نیروهای مختلف وارد شده است. طبق تعریف انرژی کرنشی، موادی که از استحکام کششی زیاد و ضربه انعطاف‌پذیری کم برخوردارند برای انجام این وظیفه مناسب‌اند. کامپوزیتهای پلیمری دارای الیاف بلند علاوه بر خواص یاد شده، چگالی کمی دارند و می‌توان از آنها در ساخت فنر تخت استفاده کرد. در این پژوهش، امکان جایگزینی فنر تخت فولادی شش لایه با فنر تخت کامپوزیتی پلیمری با ابعاد هندسی مشابه بررسی شده است. برای این مخاور، ابتدا ابعاد هندسی فنر تخت کامپوزیتی پلیمری در مقایسه با فنر تخت فولادی شش لایه محاسبه و سپس رفتار فنر کامپوزیتی با استفاده از نرم افزار ANSYS مطالعه شده است. نتایج نشان می‌دهد که فنر تخت کامپوزیتی طراحی شده نه تنها می‌تواند بخوبی وظیفه موردنظر فنر تخت فولادی را انجام دهد، بلکه وزن فنر تخت به میزان ۷۹ کیلوگرم درصد کاهش می‌یابد. در ضمن، نیروی عمودی بحرانی برای فنر تخت کامپوزیتی پلیمری معادل ۲۶۴۳۶ نیوتون و توزیع تنش آن نسبت به نوع فولادی یکنواخت‌تر است.

(مجله علوم و تکنولوژی پلیمر، سال پانزدهم، شماره ۵، صفحه ۳۲۸-۳۲۲، ۱۳۸۱)

واژه‌های کلیدی

فنر تخت، کامپوزیت پلیمری،
روش اجزای محدود، رزین اپوکسی،
الیاف شیشه

مقدمه

نووارهای فولادی روی یکدیگر تشکیل می‌شود، به صورتی که هر لایه از لایه زیرین خود بدلندر است. در نتیجه، ضخامت فنر در وسط زیاد و در دو انتهای کم می‌شود، از این رو تحت بارهای خمشی، تنش تقریباً یکسانی در طول فنر ایجاد می‌شود^[۱].

فنرها از اجزای اصلی سیستم تعیق در خودروها هستند که استفاده از آنها برای کاهش ضربه ناشی از دست اندازها و تصادفات و ایجاد حرکتی راحت ضروری است. فنر تخت بخش اصلی، قابل اطمینان و قدیمی در سیستم تعیق خودروها بشمار می‌رود. فنر تخت با چیدن

key words

leaf spring, polymeric composite, finite elements method, epoxy resin, glass fibers

* مسئول مکاتبات، پیام نگار: mehrir@modares.ac.ir

مزیت بزرگی برای کامپوزیتهای پلیمری محسوب می‌شود، زیرا با کاهش مساحت سطح مقطع در طول فنر، ناگزیر به استفاده از الیاف به صورتی نایپوسته هستیم که این موضوع باعث تغییر نسبت حجمی الیاف در طول فنر در نتیجه بروز خواص ناهمگن در طول فنر می‌شود که در نهایت منجر به کاهش میزان انرژی ذخیره شده در آن می‌گردد. بدین ترتیب، بازده بالا همراه با سطح پایینی از تشنهای برشی، مهمترین مزیتهای شکل انتخاب شده در طراحی فنر تخت کامپوزیتی پلیمری است [۶].

طراحی ابعاد هندسی فنر تخت کامپوزیتی پلیمری

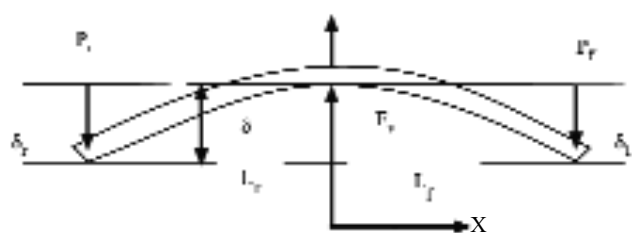
فنر تخت کامپوزیتی پلیمری رامی توان به صورت دوتیریک سرگیردار (cantilever) مستقیم فرض کرد [۶]. با این فرض مسئله به صورت تیر کامپوزیتی یک سرگیردار و دو طرف شیدار مستقیم درمی‌آید که الیاف به صورت یکنواخت در طول تیر قرار می‌گیرد و نیروها به طور متتمرکز در انتهای تیر اعمال می‌شود. با توجه به شکل ۱ و با فرض ثابت بودن تنش خمشی (σ_{xx})، معادله زیر به منظور محاسبه σ_{xx} بدست می‌آید:

$$\sigma_{xx} = \frac{Mt(x)}{2I(x)} = \frac{6P_f(L_f - x)}{b(x)t^2(x)} \quad (1)$$

اندیس f نشان‌دهنده نیمه جلویی فنر است. البته، ممکن است در موارد خاصی نیمه جلو و عقب فنر یکسان نباشد. b و t به ترتیب عرض و ضخامت فنر است، M گشتاور وارد شده به فنر و I گشتاور دوم سطح، P_f عکس العمل نیروی عمودی در جلوی فنر و L_f طول نیمه جلویی فنر است.

پارامترهای آمده در شکل ۱ عبارتند از: F_V نیروی عمودی، P_T عکس العمل V به ترتیب در عقب و جلوی فنر، δ_r و δ_f تغییر مکان عمودی به ترتیب در عقب و جلوی فنر و L_T طول نیمه جلو و عقب فنر.

برای محاسبه طول ناحیه شیدار از فرض ثابت بودن تنش خمشی در مقاطع طولی قسمت شیدار استفاده می‌شود.



شکل ۱- پارامترهای طراحی فنر تخت [۶].

شرکت جنرال موتور (GM) در اوایل دهه ۱۹۶۰ اقدام به جایگزین کردن فنرهای تخت فلزی با فنرهای تخت سبکتر ساخته شده از مواد کامپوزیتی پلیمری کرد، اما با توجه به قیمت پایین سوخت در آن زمان استقبال چندانی از این طرح نشد و جنرال موتور مجبور به متوقف کردن آن گردید. در قرن حاضر با عنایت به ضرورت سبک‌سازی هرچه بیشتر خودروها با هدف کاهش سوخت و صرفه‌جویی در منابع انرژی، طراحی و ساخت این نوع فنرها در دستور کار قرار گرفته است [۲، ۳]. فنر کامپوزیتی پلیمری برخلاف فنرهای معمول فلزی به شکل کاملاً یکپارچه‌اند و از رزین پلیمری تقویت شده با الیاف بلند با استفاده از روش‌های رشته‌پیچی و قالبگیری فشاری ساخته می‌شوند [۴].

اساس نظری

فنر تخت کامپوزیتی پلیمری مهمترین مزایای انتخاب کامپوزیتها در ساخت فنرهای تخت به شرح زیر است:

الف- کامپوزیت تک جهتی در جهت طولی از استحکام زیادی برخوردار است. در فنر تخت نیز اکثر تشنهای طولی کششی و فشاری هستند.

ب- فنرهای تخت کامپوزیتی نسبت به نوع فولادی بسیار سبکتر بوده و وزن آنها ۸۰ تا ۵۰ درصد نوع فولادی است.

ج- فنرهای تخت کامپوزیتی نسبت به نوع فولادی، عمر خستگی طولانی تری نشان می‌دهند.

د- مواد کامپوزیتی در دمای محیط رفتار ویسکوالاستیک نشان می‌دهند. این رفتار باعث می‌شود که فنر توان میرایی بارهای نوسانی را داشته باشد.

ه- عموماً فنرهای تخت کامپوزیتی به صورت یکپارچه طراحی و ساخته می‌شوند، بنابراین اصطکاک بین لایه‌ای حذف می‌شود و در نتیجه، محاسبات انرژی اصطکاکی فنر در شرایط مختلف بهتر و دقیق‌تر انجام می‌گیرد.

و- فنرهای تخت کامپوزیتی قابلیت جذب انرژی‌های کوچک اعمال شده را نیز دارند [۵].

برای دستیابی به توزیع یکنواخت انرژی در طول فنر، طراحی باید به گونه‌ای انجام شود که تنش خمشی در کل طول فنر در اثر اعمال نیروهای عمودی ثابت باشد [۶]. در بین طراحیهای پیشنهاد شده، نوع دو طرف شیدار (double tapered) با تغییرات خطی در ضخامت و هذلولی در پهنا و مساحت سطح مقطع ثابت در کل طول فنر، شرط یاد شده را برآورده می‌کند. ثابت بودن مساحت سطح مقطع تضمینی بر پیوستگی الیاف و عدم انقطاع آنها در راستای طول فنر است. این مسئله

$$b(x) = \frac{b_0}{1 - [(1-\eta)/L_1]x} \quad (10)$$

با ترکیب معادله های (۸)، (۹) و (۱۰) سفتی فنر به شکل زیر قابل محاسبه است:

$$K_f = \frac{E^*(x)b_0t_0^3}{12L_f^3(1-2\eta/3)} \quad (11)$$

و با ترکیب معادله های (۱) و (۱۱) داریم:

$$\sigma_{xx} = \frac{(3/2 E^{*2}(x))^{1/3}}{K_f^{2/3}} \left(\frac{P_f}{L_f b_f^{1/3}} \right) \frac{1}{\eta^{1/3} (1-2\eta/3)^{2/3}} \quad (12)$$

که در آن σ_{xx} تنش ثابت در ناحیه شبیدار است. برای بدست آوردن شکل هندسی بهینه فنر باید سطح تنش خمشی σ_{xx} کمترین مقدار باشد. برای محاسبه مقدار مینیمم، مشتق عبارت مذکور را برابر صفر قرار می دهیم:

$$\frac{d}{d\eta} \left(\frac{1}{\eta^{1/3} (1-2\eta/3)^{2/3}} \right) = 0 \quad (13)$$

که نسبت شبیت بهینه معادل $1/5$ بود.

جایگزینی فنر تخت فولادی نمونه با فنر تخت کامپوزیتی پلیمری

برای مقایسه بهتر تفاوت های فنرهای تخت فولادی و کامپوزیتی، با استفاده از اطلاعات و محدودیتهای طراحی فنر تخت شش لایه فولادی (جدول ۱) فنر تخت کامپوزیتی پلیمری طراحی شد.

سپس، فنر تخت کامپوزیتی پلیمری جایگزین فنر تخت فولادی شش لایه شد. نکته ای که در این جایگزینی باید مورد توجه قرار گیرد این است که جایگزینی باید به صورت یک به یک و کامل صورت گیرد و از هر لحظه، چه از نظر طول که برای نصب روی خودرو اهمیت دارد و چه از نظر پهنا و همچنین روش اتصال به شاسی، فنر تخت کامپوزیتی پلیمری باید قابلیت جایگزینی فنر تخت فولادی را داشته باشد. بنابراین، طراحی ابعاد فنر کامپوزیتی پلیمری باید با درنظر گرفتن محدودیتهای طول و پهنا و همچنین روش نصب روی خودرو صورت گیرد.

برای بررسی رفتار فنر تخت کامپوزیتی پلیمری، میزان بار بحرانی و تغییر مکانهای ایجاد شده تحت تأثیر تنشهای مختلف در فنر مذکور با استفاده از روش اجزای محدود مطالعه و محاسبه شد. در این طراحی برای مدلسازی از جزء SOLID ۹۵ استفاده شد. این جزء دارای سه

$$\sigma_{xx} \Big|_{x=L_1} = \sigma_{xx} \Big|_{x=0} \rightarrow \frac{6P_f(L_f - L_1)}{b_f t_f^2} = \frac{6P_f L_f}{b_0 t_0^2} \quad (2)$$

$$\frac{L_f - L_1}{L_f} = \frac{b_f}{b_0} \times \frac{t_f^2}{t_0^2} \quad (3)$$

در معادلات بالا L_1 طول ناحیه شبیدار و b_f و t_f به ترتیب عرض و ضخامت انتهای فنر است. همچنین b_0 و t_0 به ترتیب عرض و ضخامت وسط فنر (مبدأ مختصات) است و پارامتر $\frac{t_f}{t_0}$ نسبت شبیت (η) نامیده می شود.

$$\eta = \frac{t_f}{t_0} = \frac{b_0}{b_f} \quad (4)$$

با ترکیب معادله های (۳) و (۴) داریم:

$$L_1 = (1-\eta)L_f \quad (5)$$

در انتهای فنر و محل اعمال نیروی متغیر P_f ، جایه جایی (deflection) فنر با استفاده از معادله زیر بدست می آید:

$$\delta_f = \frac{\partial U}{\partial P_f} \quad (6)$$

در این معادله U انرژی کرنشی فنر است که به صورت زیر بدست می آید:

$$U = \int_0^{L_f} \frac{M^2}{2E^*(x)I} dx \quad (7)$$

که در آن $(x)E^*$ ضریب ارتجاعی مؤثر گسینختگی در هر مقطع است. سفتی فنر نیز با استفاده از معادله زیر محاسبه می شود:

$$K_f = \frac{P_f}{\delta_f} = \frac{P_f}{\int_0^{L_f} [(L_f - x)^2 / (E^*(x)I(x))] dx + \int_{L_f}^{L_1} [(L_f - x)^2 / (E^*(x)I(x))] dx} \quad (8)$$

برای بدست آوردن ابعاد بهینه فنر، دو شرط تنش ثابت در قسمت شبیدار (معادله ۵) و مساحت سطح مقطع مقطع ثابت در طول فنر در نظر گرفته می شود. با اعمال این دو فرض معادلات زیر برای توزیع ضخامت و عرض فنر بدست می آید:

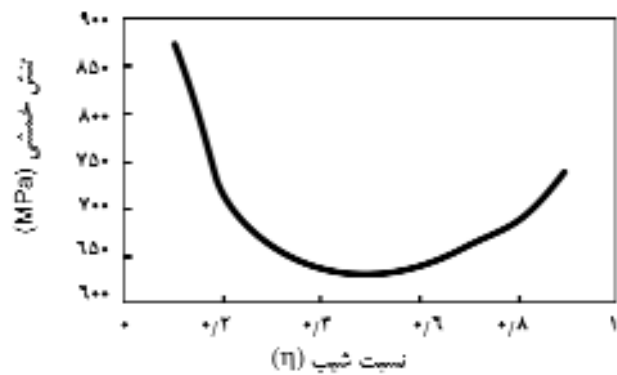
$$t(x) = t_0 - \frac{t_0 - t_f}{L_1} x = t_0 \left[1 - \frac{1-\eta}{L_1} x \right] \quad (9)$$

جدول ۳- مشخصات محاسبه شده فنر تخت کامپوزیتی پلیمری.

مقدار	علامت اختصاری	مشخصه
۳۰	t_o	بیشترین ضخامت (mm)
۱۵	t_f	کمترین ضخامت (mm)
۶۴	b_f	بیشترین پهنا (mm)
۳۲	b_o	کمترین پهنا (mm)
۳۱۰	$L/4$	طول با عرض ثابت فنر (mm)
۱۰۶	δ	جابه جایی آزاد فنر (mm)
۲۳/۱۱	K_f	سفتی نیمه جلو (N/mm)
۲۳/۱۱	K_r	سفتی نیمه عقب (N/mm)
۶۳۶	σ_{xx}	بیشترین تنش خمی ناشی از بار طراحی (MPa)
۲/۷	W	وزن فنر (kg)

فنر فولادی شش لایه معرفی شده در جدول ۱ با فنر کامپوزیتی پلیمری جایگزین شد. برای این منظور طول فنر، بیشترین عرض فنر و سفتی آن در اعمال بار طراحی به عنوان محدودیتهای طراحی انتخاب شدند. با استفاده از معادله (۱۲)، منحنی تغییرات σ_{xx} بر حسب η در شکل ۲ ارائه شده است. این نمودار نیز کمترین مقدار σ_{xx} را در $\eta = ۱$ معادل $۰/۵$ نشان می‌دهد. از آنجا که یکی از اهداف ما در طراحی فنر تخت کامپوزیتی پلیمری دستیابی به کمترین مقدار سطح تنش خمی (σ_{xx}) است، در تمام معادله‌های طراحی، مقدار $\eta = ۱$ معادل $۰/۵$ در نظر گرفته شده است.

با درنظر گرفتن نسبت شبیه مناسب و فرض مساحت سطح مقطع ثابت، توزیع ضخامت و عرض فنر کامپوزیتی در شکل‌های ۳ و ۴ نشان

شکل ۲- منحنی تغییرات σ_{xx} بر حسب نسبت شبیب (η).

جدول ۱- مشخصات فنر تخت فولادی شش لایه نمونه [۷].

مقدار	علامت اختصاری	مشخصه
۶۴	w	عرض (mm)
۱۳۲۰	L	طول بین مراکز چشمیها (mm)
۲۲۰۰	P ₁	کمترین بار طراحی (N)
۶۰۰۰	P ₂	بیشترین بار طراحی (N)
۲۵	K ₁	سفتی فنر در کمترین بار طراحی (N/mm)
۴۳	K ₂	سفتی فنر در بیشترین بار طراحی (N/mm)
۸۰	-	طول غیرفعال فنر (mm)
۱۳	W	وزن فنر (kg)

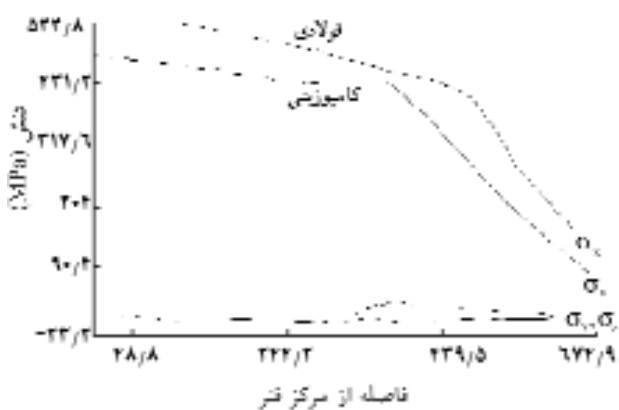
درجه آزادی است و تا صد لایه می‌توان در آن تعریف کرد. ثابت‌های مهندسی و خواص مکانیکی مواد تشکیل دهنده کامپوزیت رزین اپوکسی و الیاف شیشه، که در تحلیل فنر تخت کامپوزیتی پلیمری مورد استفاده قرار گرفته‌اند، در جدول ۲ درج شده است.

نتایج و بحث

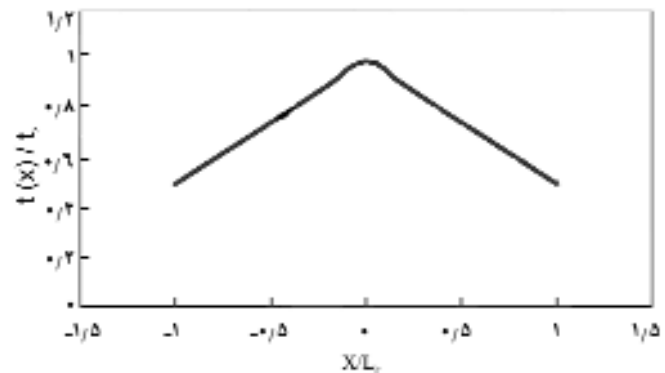
با استفاده از معادله‌ها و فرمولهای طراحی فنر تخت کامپوزیتی پلیمری،

جدول ۲- خواص مواد مورد استفاده در تحلیل فنر تخت کامپوزیتی پلیمری [۸].

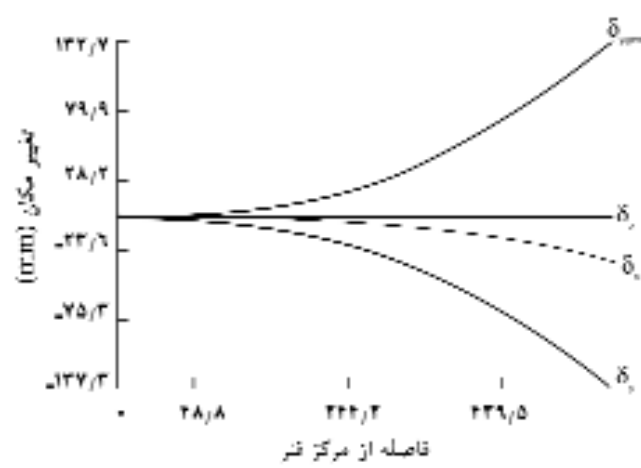
مقدار	مشخصه	خصوصیات
۶۰	V _f	نسبت حجمی الیاف (%)
۵۱	E _x	ضریب ارتجاعی طولی (GPa)
۱۱/۲	E _y	ضریب ارتجاعی عرضی (GPa)
۰/۳۱	v _{xy}	ضریب پواسون طولی
۰/۱۴	v _{yx}	ضریب پواسون عرضی
۱/۱۰۳	X	استحکام کششی طولی (GPa)
۰/۰۲۷۶	Y	استحکام کششی عرضی (GPa)
۰/۰۸۲۷	S	استحکام پرشی (GPa)



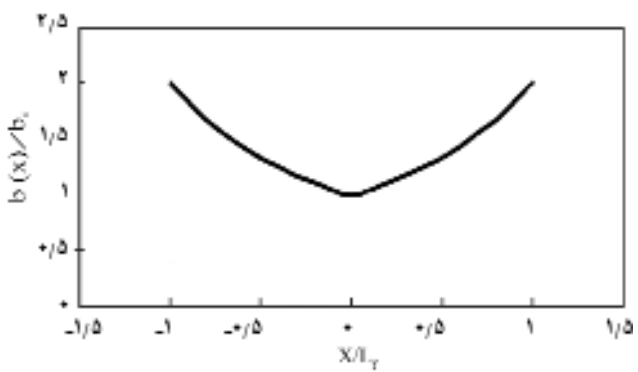
شکل ۶-توزيع تنش روی سطح فر تخت کامپوزیت پلیمری و فولادی.



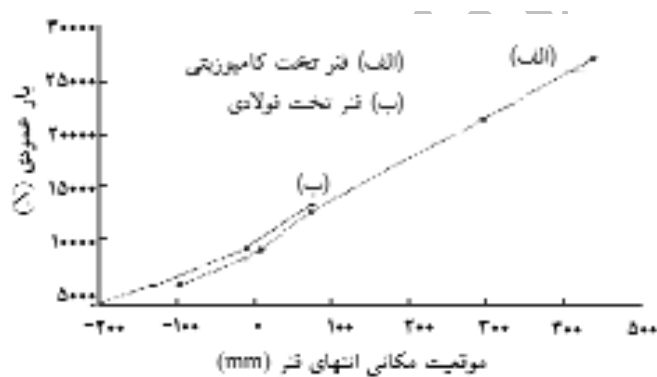
شکل ۳-توزيع ضخامت فر تخت کامپوزیتی.



شکل ۷-نمودار تغییر مکان فر تخت کامپوزیت پلیمری در اثر اعمال بار طراحی.

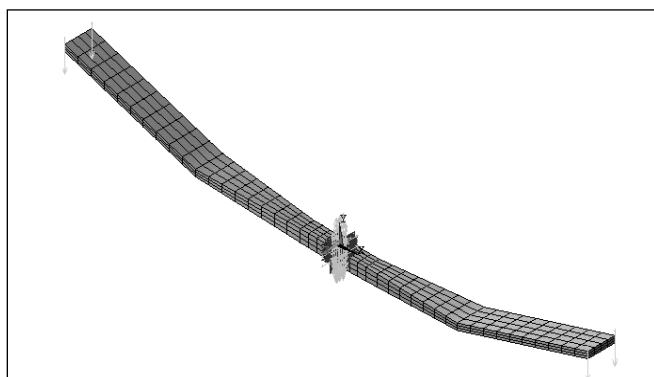


شکل ۴-توزيع عرض فر تخت کامپوزیتی.



شکل ۸-نمودار بار-تغییر مکان: (الف) فر تخت کامپوزیت پلیمری و (ب) فر تخت فولادی.

دیده می شود، توزیع σ_x روی سطح فر تخت کامپوزیت پلیمری و فولادی شبیه به هم است، با این تفاوت که سطح تنش در فر کامپوزیت پلیمری پایینتر است و این به دلیل توزیع یکنواخت تر تنش در طول فر تخت کامپوزیت پلیمری است [۹].



شکل ۵-نمایی از فر تخت کامپوزیتی طراحی شده.

داده شده است.

نتایج طراحی و محاسبات انجام شده بر مبنای محدودیتها و اطلاعات جدول ۱ و معادله های ارائه شده در جدول ۳ ارائه شده است. در شکل ۵ نمای سه بعدی فر تخت کامپوزیت پلیمری طراحی شده نشان داده شده است.

در شکل ۶ نمایی از توزیع تنش در جهت X روی سطح فر تخت کامپوزیت پلیمری و فولادی ارائه شده است. همان طور که در این شکل

شده، انتهای فنر کامپوزیتی حدود ۱۰ میلی متر پایینتر قرار می گیرد که این اختلاف برای بار ۱۰۰۰ نیوتون به ۵ میلی متر کاهش یافته است. ضروری است به این اختلاف در طراحی و بکار گیری فنر تخت کامپوزیتی پلیمری در شرایط عملی توجه شود.

نتیجه گیری

از آنجا که امروزه جهان با بحران انرژی و ضرورت صرفه جویی هر چه بیشتر در مصرف انرژی روبه روست، پرداختن به سبک سازی خودرو، از جمله جایگزینی فنر تخت فولادی با فنر تخت کامپوزیتی پلیمری، ضروری بنظر می رسد. چون فنرهای تخت کامپوزیتی پلیمری به شکل یکپارچه طراحی و ساخته می شوند، طراحی فنر ساده تر است و بررسی و مطالعه رفتار فنر تخت تحت تأثیر بارهای مختلف راحت تر و دقیقتر انجام می شود.

فرنرهای تخت کامپوزیتی پلیمری نسبت به نوع فولادی بسیار سبکترند. بطور نمونه در طرح حاضر با جایگزینی فنر تخت فولادی با فنر کامپوزیتی پلیمری، وزن فنر از 13 kg (معادل ۷۹ درصد) کاهش می یابد که بسیار قابل توجه است و می تواند یکی از مهمترین انگیزه های جایگزینی فر فولادی با نوع کامپوزیتی باشد. از آنجا که فنر تخت کامپوزیتی ساختاری یکپارچه دارد، توزیع تنش در این نوع فنر نسبت به نوع فولادی یکنواخت تر است.

تحلیلهای انجام شده روی فنر تخت کامپوزیتی طراحی شده در این پژوهش نشان می دهد که نیروی عمودی بحرانی برای این فنر معادل ۶۰۰۰ نیوتون است که بسیار فراتر از بار طراحی یعنی ۲۶۴۳۶ نیوتون است. موقعیت مکانی انتهای فنر تخت کامپوزیتی پلیمری در بار طراحی ۱۰ میلی متر پایینتر از نوع فولادی قرار می گیرد که باید به این اختلاف در طراحی و بکار گیری در شرایط عملی توجه داشت.

همچنین، در این شکل توزیع تنشها در جهات تنشهای $y(\delta_y)$ و $z(\delta_z)$ روی سطح فنر تخت کامپوزیتی پلیمری نشان داده شده است که تقریباً برهمنطبق هستند. شکل ۷ تغییر مکان فنر در جهتهای طول ($x(\delta_x)$ ، عرض (δ_y) و ارتفاع (δ_z) و برایند تغییر مکانها (δ_{sum}) را در طول فنر تخت کامپوزیتی پلیمری برای بار طراحی N ۶۰۰۰ در دمای محیط نشان می دهد. در این نمودار تغییر مکان انتهای فنر در جهت اعمال بار (جهت y) معادل $137/3$ میلی متر است. تغییر مکان انتهای فنر در جهت محور فنر (جهت x) به دلیل کاهش انحنای فنر در اثر اعمال بار طراحی معادل ۲۵ میلی متر است (از آنجا که فنر مورد نظر متقاض است، نمودارهای مذکور برای نیمه عقبی فنر نیز صادق است).

در شکل ۸ نمودار موقعیت مکانی انتهای فنر تخت کامپوزیتی پلیمری (الف) در مقایسه با تغییرات موقعیت مکانی انتهای فنر تخت فولادی (ب) بر حسب بار عمودی رسم شده است. نمودار مربوط به فنر تخت فولادی بر اساس اطلاعات تجربی و آزمایشها انجام شده روی فنر یادشده از مرجع انتخاب فنر استخراج شده است [۷]. در این نمودار نیز جهت مثبت تغییر مکان به سمت پایین و محور مختصات در مرکز فنر در نظر گرفته شده است (همانند شکل ۵). در شکل ۸ موقعیت مکانی انتهای فنر در حالت اعمال بار بحرانی ۶۰۰۰ نیوتون، صفر در نظر گرفته شده که نقاط بالای آن منفی و نقاط پایین آن مثبت است. در این شکل نمودار مربوط به فنر تخت کامپوزیتی پلیمری از بار ۲۶۴۳۶ تا ۲۲۰۰ نیوتون محاسبه و رسم شده است. اما از آنجا که اطلاعات تجربی مربوط به فنر تخت فولادی تا بار ۱۰۳۰۰ نیوتون گزارش شده است، مقایسه دو منحنی مذکورتها در محدوده بارهای ۲۲۰۰ تا ۶۰۰۰ نیوتون امکان پذیر است. همان طور که مشاهده می شود، سرعت تغییرات منحنیهای یادشده شبیه به هم است، با این تفاوت که نمودار بار - تغییر مکان فنر تخت کامپوزیتی پلیمری کمی پایینتر از نمودار فنر تخت فولادی قرار گرفته است. در بار ۶۰۰۰ نیوتون که موقعیت مکانی انتهای فنر فولادی صفر در نظر گرفته

مراجع

- Meatto F. and Pilpel E., "Hybrid Leaf Spring and Suspension System for Supporting an Axle on a Vehicle", *US Pat. 6,012,709*; 2000.
- Muzio C., "Leaf Spring for a Suspension of a Vehicle", *US Pat. 6,056,572*; 2000.
- ۳- مؤسسه کامپوزیت ایران، مجله کامپوزیت، شماره اول، صفحه ۱۴-۱۳، بهار ۱۳۸۰.
- Kofler W., "Leaf Spring of Composite Fiber Plastics Material", *US Pat. 4,786,033*; 1988.
- Chang J., "Hybrid Composite Leaf Spring", *US Pat. 5,667,206*; 1992.
- Yu W.J. and Kim H.C., "Double Tapered FRP Beam for Automotive Suspension Leaf Spring", *Compos. Struct.*; **9**, 279-300, 1988.
- Spring Design Manual*; Prepared under the Auspices of the SAE Spring Committee, 2nd ed., AE-12, 1996.
- Stephan F., Fit A. and Dutcurtre X., "In-Process Control of Epoxy Composite by Microdielectrometric Analysis", *Polym. Eng. Sci.*; **37**, 2, 436-449, 1997.
- Sancaktar E. and Gratton M., "Design, Analysis and Optimization of Composite Leaf Spring for Light Vehicle Application", *Compos. Struct.*; **44**, 195-204, 1999.